

Gefördert durch

**DFG** Deutsche  
Forschungsgemeinschaft



UNIVERSITÄT  
BAYREUTH

# Exakte Verifizierung der starken BSD-Vermutung für einige absolut einfache abelsche Flächen

Timo Keller

mit Michael Stoll

Universität Bayreuth

9. März 2022

# Inhalt

## Elliptische Kurven

Definition und Gruppenstruktur

## Motivation für die und Aussage der BSD-Vermutung

Die  $L$ -Funktion und die Rangvermutung

Die Shafarevich-Tate-Gruppe und die starke BSD-Vermutung

Stand der Forschung

Probleme und Algorithmen in höherer Dimension

## Ein konkretes Beispiel

$\text{Jac}(X_0(39)/w_{13})$  und andere Atkin-Lehner-Quotienten

## Ausblick

Eine Herausforderung

Mehr Fälle, Dimension 3 und total reelle Zahlkörper

# Elliptische Kurven

# Algebraische Geometrie: elliptische Kurven

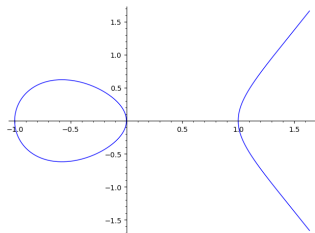
Polynomgleichungssysteme und ihre Nullstellengebilde:  
(affine) Varietäten

Beispiel

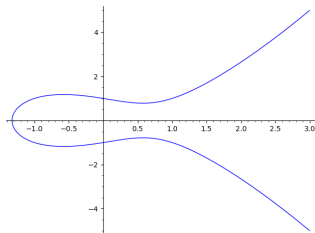
Elliptische Kurven gegeben durch Weierstraß-Gleichung

$$E : y^2 = x^3 + Ax + B$$

mit  $A, B \in \mathbf{Q}$  so, dass  $x^3 + Ax + B$  keine mehrfachen Nullstellen hat.



$$y^2 = x^3 - x$$



$$y^2 = x^3 - x + 1$$

# Algebraische Geometrie: elliptische Kurven

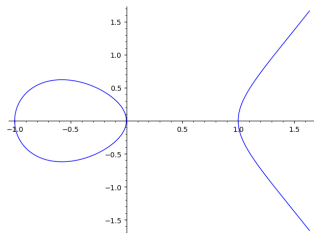
Polynomgleichungssysteme und ihre Nullstellengebilde:  
(affine) Varietäten

## Beispiel

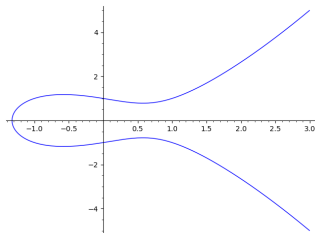
Elliptische Kurven gegeben durch Weierstraß-Gleichung

$$E : y^2 = x^3 + Ax + B$$

mit  $A, B \in \mathbf{Q}$  so, dass  $x^3 + Ax + B$  keine mehrfachen Nullstellen hat.



$$y^2 = x^3 - x$$



$$y^2 = x^3 - x + 1$$

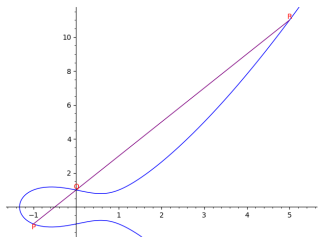
# Die Gruppenstruktur

Betrachte eine elliptische Kurve

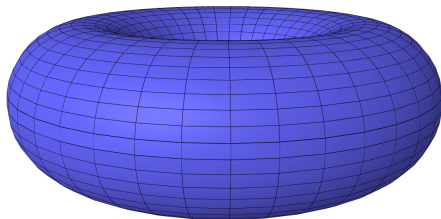
$$E : y^2 = x^3 + Ax + B.$$

$E(\mathbf{Q})$ : Lösungen mit  $x, y \in \mathbf{Q}$  zusammen mit Punkt im Unendlichen.

Gruppenstruktur auf  $E(\mathbf{Q})$ :



$$P + Q + R = 0$$



$$E(\mathbf{C}) \cong \mathbf{C}/\Lambda, \Lambda \subset \mathbf{C} \text{ Gitter}$$

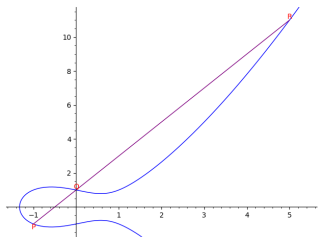
# Die Gruppenstruktur

Betrachte eine elliptische Kurve

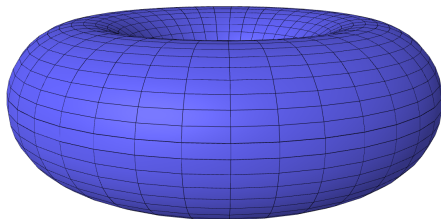
$$E : y^2 = x^3 + Ax + B.$$

$E(\mathbf{Q})$ : Lösungen mit  $x, y \in \mathbf{Q}$  zusammen mit Punkt im Unendlichen.

**Gruppenstruktur** auf  $E(\mathbf{Q})$ :



$$P + Q + R = 0$$



$$E(\mathbf{C}) \cong \mathbf{C}/\Lambda, \Lambda \subset \mathbf{C} \text{ Gitter}$$

Satz von Mordell (1922)

Die abelsche Gruppe  $E(\mathbf{Q})$  ist **endlich erzeugt**:

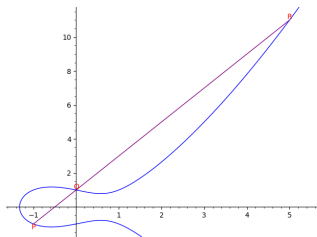
$E(\mathbf{Q}) \cong \mathbf{Z}^r \oplus E(\mathbf{Q})_{\text{tors}}$  mit dem **Rang**  $r \geq 0$  und  $E(\mathbf{Q})_{\text{tors}}$  endlich.

# Die Gruppenstruktur

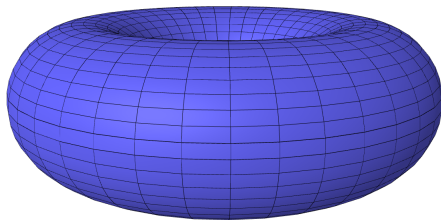
Betrachte eine elliptische Kurve

$$E : y^2 = x^3 + Ax + B.$$

$E(\mathbf{Q})$ : Lösungen mit  $x, y \in \mathbf{Q}$  zusammen mit Punkt im Unendlichen.  
**Gruppenstruktur** auf  $E(\mathbf{Q})$ :



$$P + Q + R = 0$$



$$E(\mathbf{C}) \cong \mathbf{C}/\Lambda, \Lambda \subset \mathbf{C} \text{ Gitter}$$

## Satz von Mordell (1922)

Die abelsche Gruppe  $E(\mathbf{Q})$  ist **endlich erzeugt**:

$E(\mathbf{Q}) \cong \mathbf{Z}^r \oplus E(\mathbf{Q})_{\text{tors}}$  mit dem **Rang**  $r \geq 0$  und  $E(\mathbf{Q})_{\text{tors}}$  endlich.



# Motivation für die und Aussage der BSD-Vermutung

# Die Birch-Swinnerton-Dyer-Vermutung

**L-Funktion** von  $E$ :

$$L(E, s) = \prod_{p \in S_{\text{good}}} \frac{1}{1 - a_p p^{-s} + p^{1-2s}} \cdot \prod_{p \in S_{\text{bad}}} \frac{1}{1 - a_p p^{-s}}$$

mit  $a_p = p + 1 - \#E(\mathbf{F}_p)$  für  $p \in S_{\text{good}}$  (Spur des  $p$ -Frobenius).

## Birch-Swinnerton-Dyer-Vermutung

$$r = r_{\text{an}} := \text{ord}_{s=1} L(E, s)$$

- ▶ Aufgestellt in den 1960er Jahren nach Computerberechnungen.
- ▶ Gibt „Tag-Nacht-Algorithmus“ zur Berechnung von  $E(\mathbf{Q})$ .
- ▶ Bewiesen, wenn  $\text{ord}_{s=1} L(E, s) \leq 1$ .

# Die Birch-Swinnerton-Dyer-Vermutung

**L-Funktion** von  $E$ :

$$L(E, s) = \prod_{p \in S_{\text{good}}} \frac{1}{1 - a_p p^{-s} + p^{1-2s}} \cdot \prod_{p \in S_{\text{bad}}} \frac{1}{1 - a_p p^{-s}}$$

mit  $a_p = p + 1 - \#E(\mathbf{F}_p)$  für  $p \in S_{\text{good}}$  (Spur des  $p$ -Frobenius).

## Birch-Swinnerton-Dyer-Vermutung

$$r = r_{\text{an}} := \text{ord}_{s=1} L(E, s)$$

- ▶ Aufgestellt in den 1960er Jahren nach Computerberechnungen.
- ▶ Gibt „Tag-Nacht-Algorithmus“ zur **Berechnung von  $E(\mathbf{Q})$** .
- ▶ Bewiesen, wenn  $\text{ord}_{s=1} L(E, s) \leq 1$ .

# Die Shafarevich-Tate-Gruppe

## Die Shafarevich-Tate-Gruppe

$$\text{III}(E/\mathbf{Q}) := \ker \left( H^1(\mathbf{Q}, E) \rightarrow \bigoplus_v H^1(\mathbf{Q}_v, E) \right)$$

klassifiziert überall lokal triviale  $E$ -Torseure.

- ▶  $\text{III}(E/\mathbf{Q})$  ist Maß für Fehlschlagen des Lokal-global-Prinzips.
- ▶ Vermutung: endlich!
- ▶ Anwendung: Sei  $C$  Kurve vom Geschlecht 1.  
Entscheide:  $C(\mathbf{Q}) = \emptyset$ ?  $\#C(\mathbf{Q}) = \infty$ ?

# Die Shafarevich-Tate-Gruppe

## Die Shafarevich-Tate-Gruppe

$$\text{III}(E/\mathbf{Q}) := \ker \left( H^1(\mathbf{Q}, E) \rightarrow \bigoplus_v H^1(\mathbf{Q}_v, E) \right)$$

klassifiziert überall lokal triviale  $E$ -Torseure.

- ▶  $\text{III}(E/\mathbf{Q})$  ist Maß für Fehlschlagen des Lokal-global-Prinzips.
- ▶ Vermutung: endlich!
- ▶ Anwendung: Sei  $C$  Kurve vom Geschlecht 1.  
Entscheide:  $C(\mathbf{Q}) = \emptyset$ ?  $\#C(\mathbf{Q}) = \infty$ ?

## starke BSD-Vermutung

$$\#\text{III}(E/\mathbf{Q}) = \#\text{III}(E/\mathbf{Q})_{\text{an}} := \frac{(\#E(\mathbf{Q})_{\text{tors}})^2}{\prod_p c_p} \cdot \frac{L^*(E, 1)}{\Omega_E \text{Reg}_E}$$

Vergleiche mit der analytischen Klassenzahlformel!

# Die Shafarevich-Tate-Gruppe

## Die Shafarevich-Tate-Gruppe

$$\text{III}(E/\mathbf{Q}) := \ker \left( H^1(\mathbf{Q}, E) \rightarrow \bigoplus_v H^1(\mathbf{Q}_v, E) \right)$$

klassifiziert überall lokal triviale  $E$ -Torseure.

- ▶  $\text{III}(E/\mathbf{Q})$  ist Maß für Fehlschlagen des Lokal-global-Prinzips.
- ▶ Vermutung: endlich!
- ▶ Anwendung: Sei  $C$  Kurve vom Geschlecht 1.  
Entscheide:  $C(\mathbf{Q}) = \emptyset$ ?  $\#C(\mathbf{Q}) = \infty$ ?

## starke BSD-Vermutung

$$\#\text{III}(E/\mathbf{Q}) = \#\text{III}(E/\mathbf{Q})_{\text{an}} := \frac{(\#E(\mathbf{Q})_{\text{tors}})^2}{\prod_p c_p} \cdot \frac{L^*(E, 1)}{\Omega_E \text{Reg}_E}$$

Vergleiche mit der analytischen Klassenzahlformel!

# Ein Beispiel für die Shafarevich-Tate-Gruppe

Die Selmer-Kubik

$$3x^3 + 4y^3 + 5z^3 = 0$$

ist ein nichttriviales Element von  $\text{III}(E/\mathbf{Q})[3]$  mit der elliptischen Kurve

$$E : x^3 + y^3 + 3 \cdot 4 \cdot 5 \cdot z^3 = 0$$

mit  $r = r_{\text{an}} = 0$ .

Unter Annahme der starken Birch-Swinnerton-Dyer-Vermutung ist

$$\text{III}(E/\mathbf{Q}) \cong (\mathbf{Z}/3)^2.$$

# Ein Beispiel für die Shafarevich-Tate-Gruppe

Die Selmer-Kubik

$$3x^3 + 4y^3 + 5z^3 = 0$$

ist ein nichttriviales Element von  $\text{III}(E/\mathbf{Q})[3]$  mit der elliptischen Kurve

$$E : x^3 + y^3 + 3 \cdot 4 \cdot 5 \cdot z^3 = 0$$

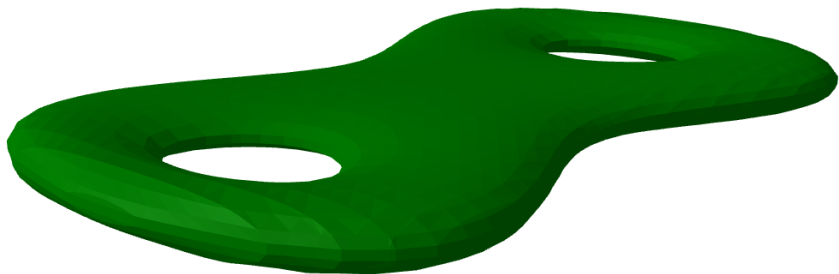
mit  $r = r_{\text{an}} = 0$ .

Unter Annahme der starken Birch-Swinnerton-Dyer-Vermutung ist

$$\text{III}(E/\mathbf{Q}) \cong (\mathbf{Z}/3)^2.$$



Es gibt Analogon für abelsche Varietäten  
höherer Dimension!



Kurve vom Geschlecht 2  
Hier ist deutlich weniger bekannt!

# Stand der Forschung zur (starken) BSD-Vermutung

- ▶ Wenn  $\dim A = 1$ , starke BSD verifiziert für Führer bis 5000.
- ▶ Vor allem Resultate für **modulare** abelsche Varietäten  $A$ .
- ▶ Nicht jede abelsche Varietät der Dimension  $> 1$  ist modular.
- ▶ Aus Gross-Zagier und Kolyvagin-Logachëv kann man für diese  $r = r_{\text{an}}$  folgern, wenn  $r_{\text{an}} \leq \dim A$ . (1980er Jahre)
- ▶ Außerdem gilt dann  $\#\text{III}(A/\mathbf{Q})_{\text{an}} \in \mathbf{Q}_{>0}$  und  $\#\text{III}(A/\mathbf{Q}) < \infty$ .

# Stand der Forschung zur (starken) BSD-Vermutung

- ▶ Wenn  $\dim A = 1$ , starke BSD verifiziert für Führer bis 5000.
- ▶ Vor allem Resultate für **modulare** abelsche Varietäten  $A$ .
- ▶ Nicht jede abelsche Varietät der Dimension  $> 1$  ist modular.
- ▶ Aus Gross-Zagier und Kolyvagin-Logachëv kann man für diese  $r = r_{\text{an}}$  folgern, wenn  $r_{\text{an}} \leq \dim A$ . (1980er Jahre)
- ▶ Außerdem gilt dann  $\#\text{III}(A/\mathbf{Q})_{\text{an}} \in \mathbf{Q}_{>0}$  und  $\#\text{III}(A/\mathbf{Q}) < \infty$ .
- ▶ **Offen:**  $\#\text{III}(A/\mathbf{Q}) \stackrel{?}{=} \#\text{III}(A/\mathbf{Q})_{\text{an}}$  (starke BSD-Vermutung)

# Stand der Forschung zur (starken) BSD-Vermutung

- ▶ Wenn  $\dim A = 1$ , starke BSD verifiziert für Führer bis 5000.
- ▶ Vor allem Resultate für **modulare** abelsche Varietäten  $A$ .
- ▶ Nicht jede abelsche Varietät der Dimension  $> 1$  ist modular.
- ▶ Aus Gross-Zagier und Kolyvagin-Logachëv kann man für diese  $r = r_{\text{an}}$  folgern, wenn  $r_{\text{an}} \leq \dim A$ . (1980er Jahre)
- ▶ Außerdem gilt dann  $\#\text{III}(A/\mathbf{Q})_{\text{an}} \in \mathbf{Q}_{>0}$  und  $\#\text{III}(A/\mathbf{Q}) < \infty$ .
- ▶ **Offen:**  $\#\text{III}(A/\mathbf{Q}) \stackrel{?}{=} \#\text{III}(A/\mathbf{Q})_{\text{an}}$  (starke BSD-Vermutung)

# Probleme, wenn $\dim A > 1$

## Was ist nicht verfügbar?

- ▶ Für welche  $p$  gibt es  $p$ -Isogenien  $A \rightarrow A'$ ?
- ▶ Das Eulersystem von Kolyvagin-Logachëv ist nicht explizit.

Starke BSD in Dimension  $> 1$  bisher in keinem einzigen Fall verifiziert, der sich nicht auf Dimension 1 reduzieren lässt!

# Ein explizites Eulersystem

## Satz (K.): endlicher Träger von III

Sei  $A$  eine modulare abelsche Varietät über  $\mathbf{Q}$ .

Es ist  $\text{III}(A/\mathbf{Q})[p] = 0$  für alle  $p$  mit

- ▶  $\rho_p : \text{Gal}(\overline{\mathbf{Q}}|\mathbf{Q}) \rightarrow \text{Aut}(A[p](\overline{\mathbf{Q}}))$  irreduzibel und
- ▶  $p \nmid 2 \cdot c \cdot \text{gcd}_K(I_K)$  mit Heegnerindizes  $I_K$  und dem Tamagawaprodukt  $c$ .

Diese  $p$  sind explizit **berechenbar**.

# Ein explizites Eulersystem

## Satz (K.): endlicher Träger von III

Sei  $A$  eine modulare abelsche Varietät über  $\mathbf{Q}$ .

Es ist  $\text{III}(A/\mathbf{Q})[p] = 0$  für alle  $p$  mit

- ▶  $\rho_p : \text{Gal}(\overline{\mathbf{Q}}|\mathbf{Q}) \rightarrow \text{Aut}(A[p](\overline{\mathbf{Q}}))$  irreduzibel und
- ▶  $p \nmid 2 \cdot c \cdot \text{gcd}_K(I_K)$  mit Heegnerindizes  $I_K$  und dem Tamagawaprodukt  $c$ .

Diese  $p$  sind explizit **berechenbar**.

## Berechnung von $\#\text{III}(A/\mathbf{Q})$ und $\#\text{III}(A/\mathbf{Q})_{\text{an}}$

Für alle anderen  $p \dots$

1.  $\dots$  berechne die  $p$ -adische  $L$ -Funktion, oder
  2.  $\dots$  mache einen  $p$ -Abstieg,
- $\dots$  um  $\text{III}(A/\mathbf{Q})[p]$  zu berechnen.

Berechne  $\#\text{III}(A/\mathbf{Q})_{\text{an}}$  mittels modularer Symbole und, wenn  $r_{\text{an}} = \dim A$ , einem Heegnerindex.



## Berechnung von $\#\text{III}(A/\mathbf{Q})$ und $\#\text{III}(A/\mathbf{Q})_{\text{an}}$

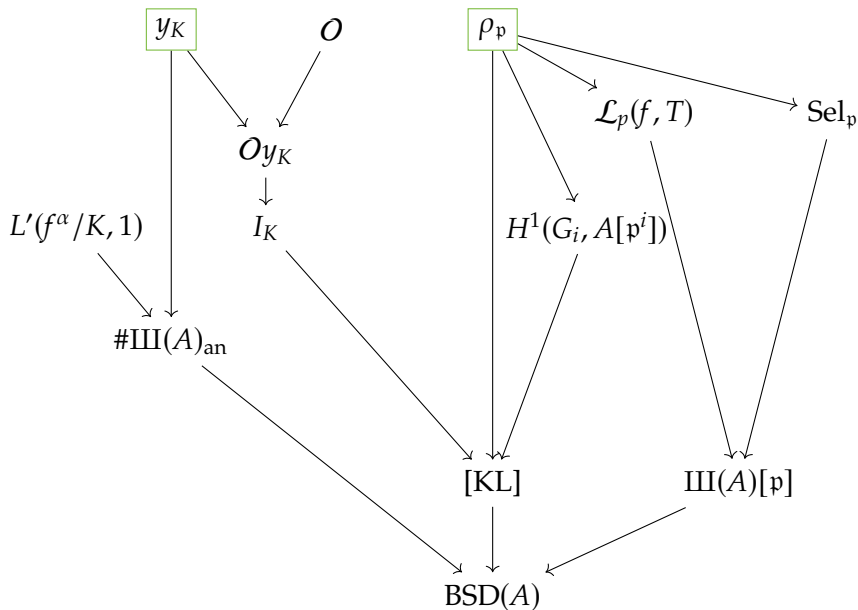
Für alle anderen  $p \dots$

1.  $\dots$  berechne die  $p$ -adische  $L$ -Funktion, oder
2.  $\dots$  mache einen  $p$ -Abstieg,

$\dots$  um  $\text{III}(A/\mathbf{Q})[p]$  zu berechnen.

Berechne  $\#\text{III}(A/\mathbf{Q})_{\text{an}}$  mittels modularer Symbole und, wenn  $r_{\text{an}} = \dim A$ , einem Heegnerindex.

# Abhängigkeitsgraph des Projektes



Ein konkretes Beispiel

## $A = \text{Jac}(X_0(39)/w_{13})$

- ▶  $\mathcal{O} = \mathbf{Z}[\sqrt{2}]$
- ▶  $r = r_{\text{an}} = 0$
- ▶  $A(\mathbf{Q}) = A(\mathbf{Q})_{\text{tors}} = \mathbf{Z}/2 \times \mathbf{Z}/(2 \cdot 7)$
- ▶  $\rho_p$  ist reduzibel genau für  $p = (\sqrt{2})$  und genau ein  $p\bar{p} = 7$ .
- ▶  $c = 7$

# $A = \text{Jac}(X_0(39)/w_{13})$

- ▶  $\mathcal{O} = \mathbf{Z}[\sqrt{2}]$
- ▶  $r = r_{\text{an}} = 0$
- ▶  $A(\mathbf{Q}) = A(\mathbf{Q})_{\text{tors}} = \mathbf{Z}/2 \times \mathbf{Z}/(2 \cdot 7)$
- ▶  $\rho_{\mathfrak{p}}$  ist reduzibel genau für  $\mathfrak{p} = (\sqrt{2})$  und genau ein  $\mathfrak{p}\bar{\mathfrak{p}} = 7$ .
- ▶  $c = 7$
- ▶  $\text{Sel}_2(A/\mathbf{Q}) \cong (\mathbf{Z}/2)^2 \cong A(\mathbf{Q})[2]$  impliziert  $\text{III}(A/\mathbf{Q})[2] = 0$ .

# $A = \text{Jac}(X_0(39)/w_{13})$

- ▶  $\mathcal{O} = \mathbf{Z}[\sqrt{2}]$
- ▶  $r = r_{\text{an}} = 0$
- ▶  $A(\mathbf{Q}) = A(\mathbf{Q})_{\text{tors}} = \mathbf{Z}/2 \times \mathbf{Z}/(2 \cdot 7)$
- ▶  $\rho_p$  ist reduzibel genau für  $p = (\sqrt{2})$  und genau ein  $p\bar{p} = 7$ .
- ▶  $c = 7$
- ▶  $\text{Sel}_2(A/\mathbf{Q}) \cong (\mathbf{Z}/2)^2 \cong A(\mathbf{Q})[2]$  impliziert  $\text{III}(A/\mathbf{Q})[2] = 0$ .
- ▶ [KL] mit  $I_{\mathbf{Q}(\sqrt{-23})} = 7$  impliziert  $\#\text{III}(A/\mathbf{Q})[p] = 0$  für  $p \nmid (\sqrt{2}), 7$ .
- ▶  $\#\text{III}(A/\mathbf{Q})_{\text{an}} = 1$

# $A = \text{Jac}(X_0(39)/w_{13})$

- ▶  $\mathcal{O} = \mathbf{Z}[\sqrt{2}]$
- ▶  $r = r_{\text{an}} = 0$
- ▶  $A(\mathbf{Q}) = A(\mathbf{Q})_{\text{tors}} = \mathbf{Z}/2 \times \mathbf{Z}/(2 \cdot 7)$
- ▶  $\rho_p$  ist reduzibel genau für  $p = (\sqrt{2})$  und genau ein  $p\bar{p} = 7$ .
- ▶  $c = 7$
- ▶  $\text{Sel}_2(A/\mathbf{Q}) \cong (\mathbf{Z}/2)^2 \cong A(\mathbf{Q})[2]$  impliziert  $\text{III}(A/\mathbf{Q})[2] = 0$ .
- ▶ [KL] mit  $I_{\mathbf{Q}(\sqrt{-23})} = 7$  impliziert  $\#\text{III}(A/\mathbf{Q})[p] = 0$  für  $p \nmid (\sqrt{2}), 7$ .
- ▶  $\#\text{III}(A/\mathbf{Q})_{\text{an}} = 1$
- ▶  $\rho_p$  ist reduzibel mit

$$0 \rightarrow \mathbf{Z}/7 \rightarrow A[p] \rightarrow \mu_7 \rightarrow 1$$

nicht-zerfallend exakt,

und  $\text{Sel}_p(A/\mathbf{Q}) \cong \mathbf{Z}/7 \cong A(\mathbf{Q})[7]$  folgt mit  $p$ -Abstieg.

# $A = \text{Jac}(X_0(39))/w_{13}$

- ▶  $\mathcal{O} = \mathbf{Z}[\sqrt{2}]$
- ▶  $r = r_{\text{an}} = 0$
- ▶  $A(\mathbf{Q}) = A(\mathbf{Q})_{\text{tors}} = \mathbf{Z}/2 \times \mathbf{Z}/(2 \cdot 7)$
- ▶  $\rho_{\mathfrak{p}}$  ist reduzibel genau für  $\mathfrak{p} = (\sqrt{2})$  und genau ein  $\mathfrak{p}\bar{\mathfrak{p}} = 7$ .
- ▶  $c = 7$
- ▶  $\text{Sel}_2(A/\mathbf{Q}) \cong (\mathbf{Z}/2)^2 \cong A(\mathbf{Q})[2]$  impliziert  $\text{III}(A/\mathbf{Q})[2] = 0$ .
- ▶ [KL] mit  $I_{\mathbf{Q}(\sqrt{-23})} = 7$  impliziert  $\#\text{III}(A/\mathbf{Q})[\mathfrak{p}] = 0$  für  $\mathfrak{p} \nmid (\sqrt{2}), 7$ .
- ▶  $\#\text{III}(A/\mathbf{Q})_{\text{an}} = 1$
- ▶  $\rho_{\mathfrak{p}}$  ist **reduzibel** mit

$$0 \rightarrow \mathbf{Z}/7 \rightarrow A[\mathfrak{p}] \rightarrow \mu_7 \rightarrow 1$$

nicht-zerfallend exakt,

und  $\text{Sel}_{\mathfrak{p}}(A/\mathbf{Q}) \cong \mathbf{Z}/7 \cong A(\mathbf{Q})[7]$  folgt mit  $\mathfrak{p}$ -Abstieg.

- ▶ Die  $\bar{\mathfrak{p}}$ -adische  $L$ -Funktion hat konstanten Term eine Einheit in  $\mathcal{O}_{\bar{\mathfrak{p}}} = \mathbf{Z}_7$ , also zeigt die integrale  $\text{GL}_2$ -IMC  $\text{III}(A/\mathbf{Q})[\bar{\mathfrak{p}}] = 0$ , weil  $\rho_{\bar{\mathfrak{p}}}$  irreduzibel ist.



# $A = \text{Jac}(X_0(39))/w_{13}$

- ▶  $\mathcal{O} = \mathbf{Z}[\sqrt{2}]$
- ▶  $r = r_{\text{an}} = 0$
- ▶  $A(\mathbf{Q}) = A(\mathbf{Q})_{\text{tors}} = \mathbf{Z}/2 \times \mathbf{Z}/(2 \cdot 7)$
- ▶  $\rho_{\mathfrak{p}}$  ist reduzibel genau für  $\mathfrak{p} = (\sqrt{2})$  und genau ein  $\mathfrak{p}\bar{\mathfrak{p}} = 7$ .
- ▶  $c = 7$
- ▶  $\text{Sel}_2(A/\mathbf{Q}) \cong (\mathbf{Z}/2)^2 \cong A(\mathbf{Q})[2]$  impliziert  $\text{III}(A/\mathbf{Q})[2] = 0$ .
- ▶ [KL] mit  $I_{\mathbf{Q}(\sqrt{-23})} = 7$  impliziert  $\#\text{III}(A/\mathbf{Q})[\mathfrak{p}] = 0$  für  $\mathfrak{p} \nmid (\sqrt{2}), 7$ .
- ▶  $\#\text{III}(A/\mathbf{Q})_{\text{an}} = 1$
- ▶  $\rho_{\mathfrak{p}}$  ist **reduzibel** mit

$$0 \rightarrow \mathbf{Z}/7 \rightarrow A[\mathfrak{p}] \rightarrow \mu_7 \rightarrow 1$$

nicht-zerfallend exakt,

und  $\text{Sel}_{\mathfrak{p}}(A/\mathbf{Q}) \cong \mathbf{Z}/7 \cong A(\mathbf{Q})[7]$  folgt mit  $\mathfrak{p}$ -Abstieg.

- ▶ Die  $\bar{\mathfrak{p}}$ -adische  $L$ -Funktion hat konstanten Term eine Einheit in  $\mathcal{O}_{\bar{\mathfrak{p}}} = \mathbf{Z}_7$ , also zeigt die integrale  $\text{GL}_2$ -IMC  $\text{III}(A/\mathbf{Q})[\bar{\mathfrak{p}}] = 0$ , weil  $\rho_{\bar{\mathfrak{p}}}$  irreduzibel ist.

# Alle Atkin-Lehner-Quotienten von unserem Typ (I)

$X$	$r$	$O$	$\#III_{an}$	$\rho_p$ red.	$c$	$(D, I_D)$	$\#III$
$X_0(23)$	0	$\sqrt{5}$	1	$11_1$	11	$(-7, 11)$	$11^0$
$X_0(29)$	0	$\sqrt{2}$	1	$7_1$	7	$(-7, 7)$	$7^0$
$X_0(31)$	0	$\sqrt{5}$	1	$\sqrt{5}$	5	$(-11, 5)$	$5^0$
$X_0(35)/w_7$	0	$\sqrt{17}$	1	$2_1$	1	$(-19, 1)$	1
$X_0(39)/w_{13}$	0	$\sqrt{2}$	1	$\sqrt{2}, 7_1$	7	$(-23, 7)$	$7^0$
$X_0(67)^+$	2	$\sqrt{5}$	1		1	$(-7, 1)$	1
$X_0(73)^+$	2	$\sqrt{5}$	1		1	$(-19, 1)$	1
$X_0(85)^*$	2	$\sqrt{2}$	1	$\sqrt{2}$	1	$(-19, 1)$	1
$X_0(87)/w_{29}$	0	$\sqrt{5}$	1	$\sqrt{5}$	5	$(-23, 5)$	$5^0$
$X_0(93)^*$	2	$\sqrt{5}$	1		1	$(-11, 1)$	1
$X_0(103)^+$	2	$\sqrt{5}$	1		1	$(-11, 1)$	1
$X_0(107)^+$	2	$\sqrt{5}$	1		1	$(-7, 1)$	1
$X_0(115)^*$	2	$\sqrt{5}$	1		1	$(-11, 1)$	1
$X_0(125)^+$	2	$\sqrt{5}$	1	$\sqrt{5}$	1	$(-11, 1)$	$5^0$

# Alle Atkin-Lehner-Quotienten von unserem Typ (II)

$X$	$r$	$O$	$\#\text{III}_{\text{an}}$	$\rho_p$ red.	$c$	$(D, I_D)$	$\#\text{III}$
$X_0(133)^*$	2	$\sqrt{5}$	1		1	$(-31, 1)$	1
$X_0(147)^*$	2	$\sqrt{2}$	1	$\sqrt{2}, 7_1$	1	$(-47, 1)$	$7^0$
$X_0(161)^*$	2	$\sqrt{5}$	1		1	$(-19, 1)$	1
$X_0(165)^*$	2	$\sqrt{2}$	1	$\sqrt{2}$	1	$(-131, 1)$	1
$X_0(167)^+$	2	$\sqrt{5}$	1		1	$(-15, 1)$	1
$X_0(177)^*$	2	$\sqrt{5}$	1		1	$(-11, 1)$	1
$X_0(191)^+$	2	$\sqrt{5}$	1		1	$(-7, 1)$	1
$X_0(205)^*$	2	$\sqrt{5}$	1		1	$(-31, 1)$	1
$X_0(209)^*$	2	$\sqrt{2}$	1		1	$(-51, 1)$	1
$X_0(213)^*$	2	$\sqrt{5}$	1		1	$(-11, 1)$	1
$X_0(221)^*$	2	$\sqrt{5}$	1		1	$(-35, 1)$	1
$X_0(287)^*$	2	$\sqrt{5}$	1		1	$(-31, 1)$	1
$X_0(299)^*$	2	$\sqrt{5}$	1		1	$(-43, 1)$	1
$X_0(357)^*$	2	$\sqrt{2}$	1		1	$(-47, 1)$	1

Ausblick

Finde mittels Shnidman-Weiss<sup>1</sup> Beispiele von  $A/\mathbb{Q}$  mit

$$\#\text{III}(A/\mathbb{Q}) = \#\text{III}(A/\mathbb{Q})_{\text{an}} \neq 2^i!$$

---

<sup>1</sup>*Elements of prime order in Tate-Shafarevich groups of abelian varieties over  $\mathbb{Q}$* ,  
arXiv:2106.14096

- ▶ Verifikation für alle  $\sim 1200$  Neuformen von Stufe  $\leq 1000$  mit reell-quadratischen Koeffizienten absehbar.
- ▶ **Dimension 3**: Eine generische Kurve vom Geschlecht 3 ist nicht hyperelliptisch, also brauchen wir eine explizite Theorie von Jacobischen und Höhen!
- ▶ Starke BSD-Vermutung über **total reellen** Zahlkörpern.

- ▶ Verifikation für alle  $\sim 1200$  Neuformen von Stufe  $\leq 1000$  mit reell-quadratischen Koeffizienten absehbar.
- ▶ **Dimension 3**: Eine generische Kurve vom Geschlecht 3 ist nicht hyperelliptisch, also brauchen wir eine explizite Theorie von Jacobischen und Höhen!
- ▶ Starke BSD-Vermutung über **total reellen** Zahlkörpern.

# Danke!

Mehr Details im nächsten Computeralgebra-Rundbrief.